



## رنگبری پساب رنگزای راکتیو توسط نانوالیاف پلی اکریلونیتریل عامل دار شده با بتاسیکلود کسترین

صدیقه برهانی<sup>۱\*</sup>، هاله خلیلی<sup>۱</sup>، نسیم سوهان کار<sup>۲</sup>، فوزی فروزنهر<sup>۳</sup>

۱- استادیار، دانشکده مهندسی نساجی، دانشگاه صنعتی اصفهان، اصفهان، ایران، صندوق پستی: ۸۴۱۵۶-۸۳۱۱۱

۲- دانشجوی کارشناسی، دانشکده مهندسی نساجی، دانشگاه صنعتی اصفهان، اصفهان، ایران، صندوق پستی: ۸۴۱۵۶-۸۳۱۱۱

۳- دانشجوی کارشناسی ارشد، دانشکده مهندسی نساجی، دانشگاه صنعتی اصفهان، اصفهان، ایران، صندوق پستی: ۸۴۱۵۶-۸۳۱۱۱

تاریخ دریافت: ۹۲/۴/۱۹  
تاریخ پذیرش: ۹۳/۲/۲۴  
در دسترس به صورت الکترونیکی از: ۱۳۹۳/۹/۲۰

### چکیده

هدف این تحقیق ارزیابی بازده رنگبری نانوالیاف عامل دار شده با سیکلود کسترین ( $\beta$ CD) جهت حذف رنگزای راکتیو از پساب، به روش غوطه وری است. نانوالیاف پلی اکریلونیتریل (PAN) برای حذف رنگزاهای راکتیو ۱۳، C.I. Reactive Blue 21، C.I. Reactive Blue 13 و C.I. Reactive Red 2 از پساب رنگزی استفاده و بازده رنگبری برای رنگزاهای فوق به ترتیب ۴.۷٪، ۲۲.۵٪ و ۳.۴٪ حاصل شد. سپس نانوالیاف PAN/ $\beta$ CD10 و PAN/ $\beta$ CD50 به ترتیب حاوی ۱۰ و ۵۰ درصد وزنی بتاسیکلود کسترین، تهیه شد. بازده رنگبری نمونه PAN/ $\beta$ CD10 به ترتیب ۸.۳٪، ۲۸.۱٪ و ۱۰٪ و برای نمونه PAN/ $\beta$ CD50 به ترتیب ۳۱٪، ۴۹٪ و ۲۵٪ بدست آمد. حضور و افزایش میزان سیکلود کسترین منجر به افزایش بازده رنگبری شد. افزایش وزن نانوالیاف PAN/ $\beta$ CD50 در پساب رنگزای C.I. Reactive Blue 21 از ۰.۰۱ به ۰.۰۵ گرم، با افزایش بازده رنگبری از ۴۹٪ به ۸۶.۴٪ همراه بود. بر اساس نتایج حاصل می توان نانوالیاف PAN/ $\beta$ CD را انتخاب مناسبی جهت حذف رنگزای راکتیو از پساب رنگزی معرفی کرد.

واژه های کلیدی: پساب، نانوالیاف، غوطه وری، بتاسیکلود کسترین، کمپلکس درهم جای، رنگزای راکتیو.

## Dye Removal From Reactive Dye Wastewater Using $\beta$ -cyclodextrin Functionalized Polyacrylonitrile Nanofibers

S. Borhani\*, H. Khalili, N. Sohankar, F. Foroozamehr

Department of Textile Engineering, Isfahan University of Technology, P.O.Box: 84156-83111, Isfahan, Iran

Received: 10-07-2013

Accepted: 14-05-2014

Available online: 11-12-2014

### Abstract

The main aim of this study is investigation of the reactive dye removal efficiency from wastewater by using nanofibers functionalized with  $\beta$ -cyclodextrin( $\beta$ CD) through the immersion method. At first, polyacrylonitrile(PAN) nanofibers for the removal of three reactive dyes of CI Reactive Blue 13, C.I. Reactive Blue 21 and C.I. Reactive Red 2 from simulated wastewater were used. The dye removal efficiency for the dyes mentioned was 4.7, 22.5 and 3.4 %, respectively. Then, PAN/ $\beta$ CD10 and PAN/ $\beta$ CD50 nanofibers, which had 10 and 50 wt% of  $\beta$ CD, respectively, were electrospun. It was found that dye removal efficiency of PAN/ $\beta$ CD10 nanofiber mats for the dyes mentioned was 8.3, 28.1and 10 %, respectively. Also, dye removal efficiency of PAN/ $\beta$ CD50 nanofiber mats was obtained to be 31, 49 and 25%. Based on the results, dye removal efficiency of reactive dye wastewater was increased due to the increase in  $\beta$ CD concentration. Increasing PAN/ $\beta$ CD50 nanofibers weight from 0.01 to 0.1 g tended to increase dye removal efficiency of C.I. Reactive Blue 21 dye wastewater from 49% to 86.4%. J. Color Sci. Tech. 8(2014), 193-201©. Institute for Color Science and Technology.

**Keywords:** Wastewater, Nanofibers, Immersion,  $\beta$  – cyclodextrin, Inclusion complex, Reactive dye.

بسیار زیاد و منافذ به هم پیوسته و قابلیت عامل دار نمودن آنها، به طور گسترده در تصفیه هوا و مایعات استفاده می شوند. از جمله ویژگی های ساختاری این لایه ها خامت، قطر نانوالیاف، تخلخل، اندازه منافذ و ضریب انحنای (شاخصی برای هندسه و اتصال درونی منافذ) است [۶]. یکی از موادی که جهت عامل دار نمودن نانوالیاف مورد استفاده قرار گرفته، سیکلودکسترنین ها است. سیکلودکسترنین ها، الیکوساکاریدهای حلقوی مشکل از واحدهای گلوکزی هستند که از طریق پیوندهای  $\alpha$  و  $\beta$  گلوکزیدی به هم متصل شده اند تا یک ساختار حلقوی ایجاد نمایند [۷]. سیکلودکسترنین ها حین عمل آنزیم CG Tase چرخش آزاد واحدهای گلوکزپیرانوزی، سیکلودکسترنین ها به شکل سیلندر کامل نبوده، و شکلی شبیه مخروط ناقص دارند. درون حفره، سیکلودکسترنین با حلقه ای از اتم های هیدروژن متصل به کربن C و اتم های اکسیژن گلوکزیدی و سایر هیدروژن های قرار گرفته بر روی کربن C<sub>۲</sub>. احاطه شده است. بنابراین درون حفره نسبتاً آب گریز است (حفره ناقطبی) و پل های اکسیژنی گلوکزیدی چگالی الکترونی بالایی را ایجاد می نمایند. چون همه گروه های هیدروکسیل در سمت بیرونی مولکول قرار گرفته اند، سطح بیرونی حفره آب دوست است [۷]. از این رو سیکلودکسترنین به عنوان میکرو محیط ناهمگن توصیف می شود. در نتیجه این حفره آب گریز، سیکلودکسترنین ها می توانند با گستره وسیعی از مولکول های آب گریز، کمپلکس های درهم جای تشکیل دهند [۸].  $\alpha$  سیکلودکسترنین،  $\beta$  سیکلودکسترنین و  $\gamma$  سیکلودکسترنین از مهم ترین گونه های سیکلودکسترنین می باشند که به ترتیب از  $\gamma$ ،  $\beta$  و  $\alpha$  واحد گلوکزیدی تشکیل شده اند. بعد این سه همولوگ در شکل ۱ آورده شده است.

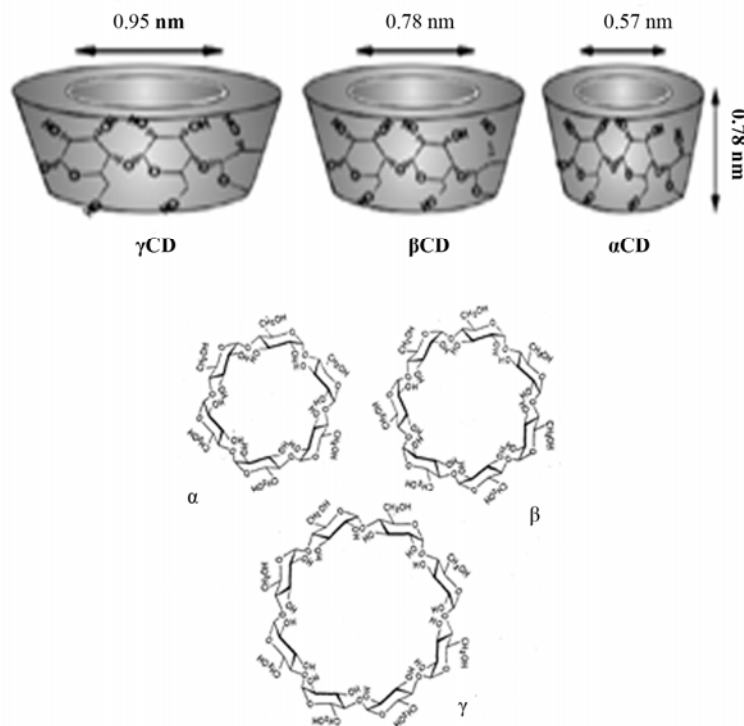
قابل توجه ترین ویژگی سیکلودکسترنین ها توانایی آنها در تشکیل دادن کمپلکس های درهم جای (کمپلکس های مهمان-میزبان)، با گستره وسیعی از ترکیبات جامد، مایع و گازه است [۸]. در این کمپلکس ها مولکول مهمان درون حفره سیکلودکسترنین میزبان نگه داشته یا گنجانده می شود، در نتیجه محصور شدن، پایداری رخ می دهد بدون آن که هیچ گونه پیوند کوالانتی شکسته یا تشکیل شود [۷]. هنگامی که یک مولکول مهمان در حفره سیکلودکسترنین جای می گیرد و تشکیل کمپلکس درهم جای می دهد، بسیاری از خواص فیزیکی و شیمیایی این مولکول تغییر می کند. این تغییر در فاز جامد و در محلول مائی رخ می دهد [۱۰]. به دلیل این که خواص فیزیکی و شیمیایی مولکول مهمان در اثر ایجاد کمپلکس با سیکلودکسترنین تغییر می کند، سیکلودکسترنین ها در زمینه های مختلف مانند داروسازی، صنایع غذایی، مواد آرایشی و بهداشت فردی، صنایع جوهرسازی و صنعت نساجی کاربرد یافته اند [۱۰-۱۲].

در سال ۲۰۰۶ برای اولین بار تلاشی جهت آوردن مولکول های سیکلودکسترنین بر روی سطح نانوالیاف صورت گرفت [۱۳].

## ۱- مقدمه

حجم زیاد آب و مواد شیمیایی مصرفی در صنایع نساجی علت آلایندگی بالای این صنعت است. پساب نساجی شامل گروه وسیعی از آلاینده های شیمیایی از قبیل رنگراها و مواد شیمیایی افودنی می باشد که خطرات زیست محیطی فراوانی دارند [۱]. بر جسته ترین این مواد شیمیایی، مواد رنگرا هستند که بر محیط زیست تاثیر غیر مستقیم ولی بسیار جدی دارند. رنگراها حتی در غلظت های خیلی پایین باعث کاهش زلالی و شفافیت آب می شوند و با کم کردن انتقال نور و کاهش اکسیژن محلول در آب با جلوگیری از عمل فتوسنتز، مانع جهت رشد ارگانیزمهای می شود [۲]. بنابراین مطالعه و تحقیق در زمینه تصفیه پساب های حاصل و کنترل حجم آводگی وارد شده به محیط از این صنعت، بسیار حائز اهمیت می باشد. رنگراها را کتیو از پر کاربرد ترین رنگراها آزویی هستند که گروه های فعال مختلفی دارند. این رنگراها توسط پیوند کوالانت به کالا متصل می شوند و ویژگی های مطلوبی از جمله درخشندگی و ثبات شست و شوینی بالا دارند. رنگراها را کتیو به دلیل حلالیت زیاد در آب، سمی بودن به دلیل ساختار آروماتیکی و وزن مولکولی نسبتاً بالا (۱۲۰۰ تا ۸۰۰ گرم بر مول)، از سایر رنگراها آلاینده تر هستند. رنگراها را کتیو بزرگ ترین مشکل را در زمینه تصفیه پساب ایجاد کرده که با تقاضای روزافزون منسوجات سلولی استفاده از آنها نیز تشدید می شود. پس از اینکه فرآیند رنگرزی با رنگزای را کتیو کامل شد، مقدار قابل توجهی از رنگزای آبکافت شده درون حمام باقی می ماند. نرخ تثبیت رنگراها را کتیو در بازه ۵۰ تا ۹۰ درصد است که البته این مقدار در مورد رنگراهای با دو گروه فعال بیشتر است. بنابراین حدود ۱۰ تا ۵۰ درصد از رنگزا در پساب باقی مانده که نتیجه آن پساب رنگی با غلظت رنگزای بسیار بالاست. لازم به ذکر است که رنگراها را کتیو در هر دو فرم اولیه یا آبکافت شده به راحتی در محیط تجزیه نمی شوند، این گروه از رنگراها به نور، حرارت و مواد اکسید کننده مقاوم هستند و از نظر بیولوژیکی غیرقابل تجزیه اند. در نتیجه حتی پس از عملیات گستردۀ تصفیه نیز همچنان در محیط باقی مانده و به عنوان ترکیبات مسأله ساز در پساب مطرح می شوند [۳، ۴].

به طور کلی سه روش معمده برای زدودن رنگ از پساب وجود دارد که عبارتند از: تصفیه شیمیایی، تصفیه بیولوژیکی و تصفیه فیزیکی. در میان این سه روش، دو روش تصفیه فیزیکی و شیمیایی روش های اصلی رنگزدایی از پساب صنعت نساجی به شمار می روند [۵]. نانوالیاف یا نانو لایه هایی که توسط فرآیند الکتروریسی تولید می شوند، خواص قابل توجهی از جمله نسبت مساحت سطح به حجم بالا، منافذ در محدوده نانو، وزن پایه و ضخامت کم، اتصال درونی منافذ و فعالیت شیمیایی دارند. بنابراین لایه های تهیه شده از نانوالیاف کاربردهای زیادی در صنایع مختلف مانند نساجی، کامپوزیت ها، حسگرها و زیست فناوری یافته اند. به ویژه این لایه ها به خاطر تخلخل



شکل ۱: ساختار شیمیایی و ابعاد سیکلودکسترین‌ها [۹].

غوطه‌وری پس از ۷۲ ساعت، درصد جذب فنل‌فتالئین به  $۶۳.۲۵\%$  رسیده است. این در حالی است که جذب آلاینده توسط لایه تهیه شده از پلی‌استایرن خالص پس از ۷۲ ساعت از  $۱۱.۶۴\%$  به  $۱۱.۳۷\%$  رسیده است. کاهش اندک در میزان جذب فنل‌فتالئین به دلیل جذب این ماده بر روی سطح الیاف پلی‌استایرن خالص است که پس از گذشت زمان از روی سطح بلند می‌شوند. اما در مورد لایه حاصل از پلی‌استایرن عامل‌دار شده، علت جذب آلاینده، تشکیل کمپلکس پایدار فنل‌فتالئین با سیکلودکسترین موجود در سطح نانوالیاف است. استفاده از نانوالیاف عامل‌دار شده با سیکلودکسترین، برای حذف رنگزا از پساب حاصل از رنگرزی کالای سلولزی با رنگزای راکتیو رنگزا از پساب حاصل از گرفت [۱۴]. در این تحقیق روش صاف‌کردن غشایی برای استفاده از نانوالیاف پلی‌اکریلونیتریل عامل‌دار شده با بتاسیکلودکسترین جهت رنگبری انتخاب و بازده رنگبری  $۳۱\%$  گزارش شده است. نتایج این محققان نشان داده که با توجه به حلالیت بالای بتاسیکلودکسترین در آب، روش صاف‌کردن غشایی به دلیل دینامیک بودن، مشکلاتی از قبیل جدا شدن ملکول‌های بتاسیکلودکسترین از نانوالیاف و حضور آن در پساب را به همراه دارد. با توجه به نتایج ارائه شده توسط اویار و همکارانش در راستای قابلیت نانوالیاف حاوی سیکلودکسترین در جذب مولکول‌های آلی به روش غوطه‌وری و همچنین تائید قابلیت

در تحقیقی توسط کاوار و همکارانش مشتقات فنیل‌کربومتیل و آزیدومتیل کربومتیل بتاسیکلودکسترین با پلی‌متیل‌متاکربیلات به طور موفقیت‌آمیزی مخلوط و الکترورسی شد. مطالعه روی سطح نانوالیاف حضور مقداری از مشتقات بتاسیکلودکسترین روی سطح نانوالیاف را نشان داده است. برای بررسی جذب فنل‌فتالئین به عنوان مدلی برای مولکول‌های آلی، لایه حاصل از نانوالیاف در محلول آبی فنل‌فتالئین به مدت یک روز غوطه‌ور شد. بررسی میزان جذب محلول در طول موج  $۵۵۰$  نانومتر نشان داده است که با افزایش غلظت سیکلودکسترین در نانوالیاف، میزان جذب کاهش یافته است. کاهش جذب فنل‌فتالئین به مقدار غلظت فنل‌فتالئین در محلول و قابلیت جذب فنل‌فتالئین توسط نانوالیاف است.

در تحقیقات اویار و همکارانش در سال  $۲۰۰۹$  نشان داده شد با افزایش سیکلودکسترین به محلول پلی‌استایرن، نانوالیاف یکدست و ظرف حاصل می‌گردد [۹]. هدف محققان از این تحقیق، استفاده از نانولایه عامل‌دار شده با سیکلودکسترین در جذب مولکول آلی بوده است. بنابراین برای بررسی این هدف لایه تهیه شده از نانوالیاف پلی‌استایرن و لایه‌ای متکل از نانوالیاف عامل‌دار شده با سیکلودکسترین در محلول فنل‌فتالئین غوطه‌ور شده و جذب محلول توسط دستگاه طیف سنج انتقالی اندازه‌گیری شده است. با افزایش مقدار سیکلودکسترین محتوى محلول پلیمر و افزایش مدت زمان

جدول ۲ نام و مشخصات وسایل مورد استفاده در این تحقیق را نشان می‌دهد.

جدول ۲: مشخصات وسایل مورد استفاده.

| توضیحات  | دستگاه‌های مورد استفاده  |
|--|--|
| طراحی و ساخت دانشکده<br>مهندسی نساجی دانشگاه<br>صنعتی اصفهان             | مبدل با ورودی ۲۲۰ - ۰ ولت (AC)<br>و خروجی ۲۲ - ۰ کیلو ولت (DC) |
| مدل ۵۲۷ - STC، ساخت شرکت<br>کشور ژاپن Terumo                             | پمپ تعذیب  |
| ساخت شرکت Shimadzu ژاپن<br>و قابلیت اندازه‌گیری در ناحیه<br>فرابینف-مرئی | UV mini<br>1240  |
| مدل Metohm مدل ساخت کشور<br>سوئیس  | دستگاه هدایتسنج الکتریکی                                       |
| DCAT مدل dataphysics<br>ساخت کشور آلمان                                  | دستگاه اندازه‌گیری کشش سطحی                                    |
| مدل DV-II+Pro، شرکت<br>Brookfeild آمریکا                                 | ویسکومتر چرخشی   |
| مدل XL-30 ساخت شرکت<br>کشور هلند Philips                                 | میکروسکوپ الکترونی روشنی<br>(SEM)                              |

ساختار شیمیایی رنگرهای مورد استفاده در شکل ۲ ارائه شده است.

## ۲-۲-روش کار

### ۱۲-۲-تعیین مشخصات پساب و غلظت رنگزای باقیمانده

به منظور شبیه‌سازی پساب رنگزی، عملیات رنگزی کالای سلولزی با رنگرهای راکتیو ذکر شده، به روش کلاسیک و معمول این کلاس رنگی انجام گردید. سپس غلظت پساب باقیمانده به روش جذب‌سنگی و با استفاده از رابطه بیر-لامبرت در طول موج بیشینه رنگراها محاسبه شد.

تشکیل کمپلکس درهم جای سیکلودکسترین و رنگزای راکتیو توسط فروزنمehr و فقدان انجام تحقیقات در خصوص حذف رنگزا به روش غوطه‌وری توسط نانوالیاف حاوی سیکلودکسترین، هدف از انجام این تحقیق ارزیابی قابلیت رنگبری نانوالیاف پلی‌اکریلونیتریل حاوی بتاسیکلودکسترین، به روش استاتیکی است. به همین دلیل ابتدا نانوالیاف پلی‌اکریلونیتریل حاوی مقادیر مختلف بتاسیکلودکسترین به روش الکتروریسی تولید و سپس با استفاده از روش غوطه‌وری برای جداسازی رنگزا از پساب، بازده رنگبری ارزیابی شده است.

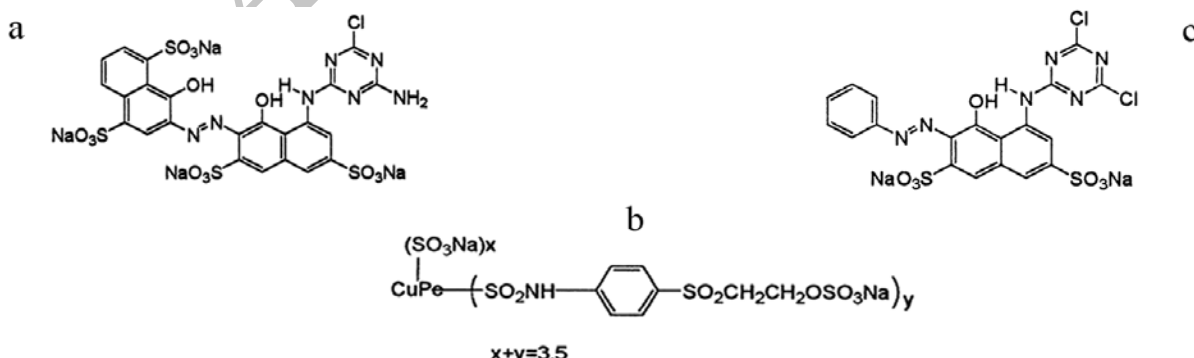
## ۲-بخش تجربی

### ۱-۲-مواد

نام و برخی از مشخصات مواد مورد استفاده این تحقیق در جدول ۱ آورده شده است.

جدول ۱: مشخصات مواد مورد استفاده.

| مواد مصرفی                             | توضیحات                                       |
|--|---|
| پلی‌اکریلونیتریل (PAN)                 | $M_n = 70000$ g/mol<br>شرکت پلی‌اکریل ایران   |
| دی متیل فرمامید (DMF)                  | خریداری شده از شرکت مرک آلمان                 |
| بتاسیکلودکسترین ( $\beta$ CD)          | وزن ملکولی ۱۱۳۵ g/mol از شرکت<br>سیگما آلدريج |
| رنگزای راکتیو گرم<br>وینیل سولفون      | C.I. Reactive Blue 21                         |
| رنگزای راکتیو گرم<br>منوکلوروتی‌آزینبل | C.I. Reactive Blue 13                         |
| رنگزای راکتیو سرد                      | C.I. Reactive Red 2                           |



شکل ۲: ساختار a-رنگزای ۱۳، b-رنگزای ۲۱، c-رنگزای ۲ C.I. Reactive Red 2

در این رابطه  $C_0$  غلظت رنگزا در پساب قبل از تصفیه و  $C$  غلظت رنگزا پس از تصفیه است. برای بررسی روند رنگبری، در فواصل ۳۰ دقیقه‌ای از پساب نمونه‌گیری و سپس بازده رنگبری پس از ۹۰ دقیقه محاسبه گردید.

تعیین غلظت نمک و تاثیر آن بر پیش‌بینی غلظت رنگزای باقیمانده در حمام نیز توسط اندازه‌گیری هدایت الکتریکی محلول‌های نمک با غلظت مشخص (۱۰۰۰۲، ۱۰۰۰۴، ۱۰۰۰۳، ۱۰۰۰۵) و تعیین هدایت الکتریکی آنها و رسم منحنی کالیبراسیون این داده‌ها انجام شد.

pH محلول نیز که می‌تواند در تشییت و آبکافت رنگزاها موثر باشد، توسط سود در مرحله صاف کردن تنظیم گردید.

### ۳- نتایج و بحث

#### ۳-۱- مشخصات نانوالیاف

خواص محلول پلیمری همراه با قطر نانوالیاف حاصله در جدول ۳ درج شده است. تصاویر SEM نانوالیاف به همراه نمودار توزیع قطری نیز در شکل ۳ نشان داده شده است. با توجه به نتایج به دست آمده ملاحظه می‌گردد که حضور سیکلولدکسترن و افزایش غلظت آن در محلول پلیمری باعث افزایش معنادار گرانزوی محلول پلیمری شده است. بررسی آماری نتایج حاکی از عدم تغییر معنادار کشش سطحی محلول پلیمری در اثر افزایش سیکلولدکسترن است. بر اساس نتایج بدست آمده با افزایش میزان سیکلولدکسترن از ۰ به ۵۰ درصد به دلیل افزایش گرانزوی محلول پلیمری، میانگین قطر نانوالیاف از ۲۴۱.۴ به ۶۱۱.۹ نانومتر افزایش یافته است.

جدول ۳: خصوصیات محلول پلیمری و نانوالیاف.

| نمونه             | گرانزوی (cp) | کشش سطحی (mN/m) | قطر (nm)         |
|-------------------|--------------|-----------------|------------------|
| PAN13             | ۱۲۰۰         | ۳۸/۵            | $۲۴۱.۴ \pm ۳۷.۸$ |
| PAN/ $\beta$ CD10 | ۱۲۴۳         | ۳۴/۹            | $۳۲۰.۱ \pm ۳۶.۶$ |
| PAN/ $\beta$ CD50 | ۲۶۰۵         | ۳۷/۸            | $۶۱۱.۹ \pm ۸۶.۷$ |

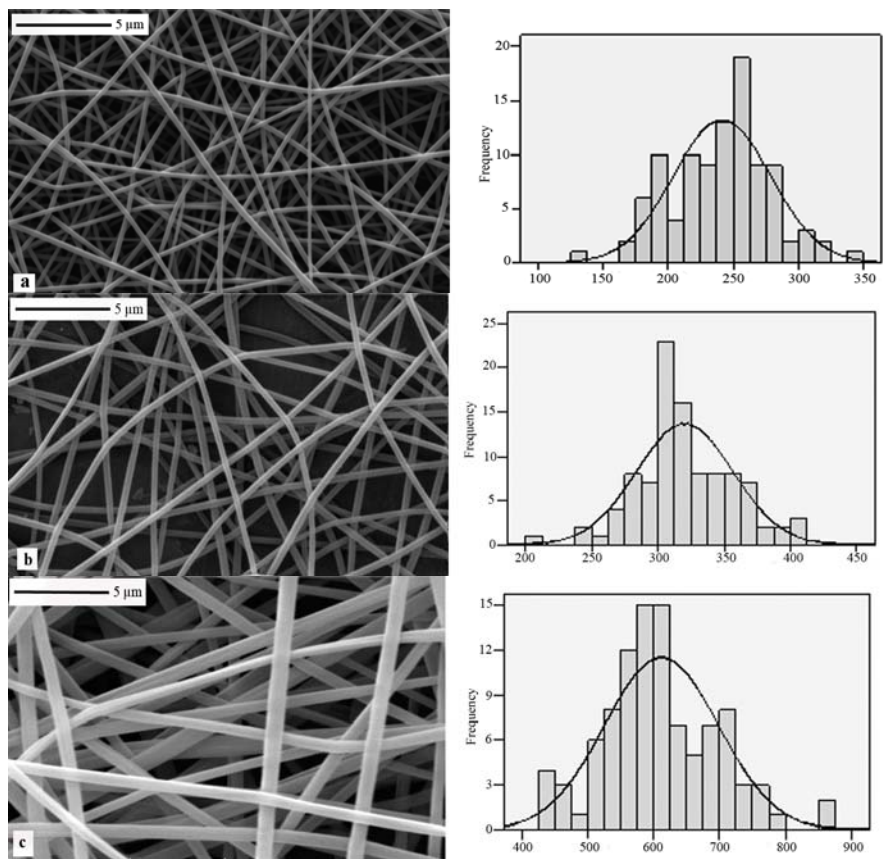
برای اطمینان از حضور بتاسیکلولدکسترن در سطح نانوالیاف، از آزمون انعکاس کلی کاهیده (ATR) استفاده شد. با توجه به طیف بدست آمده از سطح صافی در شکل ۴، مشاهده می‌شود پیک‌های مشخصه بتاسیکلولدکسترن در سطح نانوالیاف در عدد موجی حدود  $1030\text{ cm}^{-1}$ ،  $1080$  و  $1158$  حضور دارند. بنابراین نظریه جدایی فاز سیکلولدکسترن از پلیمر زمینه (PAN) در حین الکتروریسی صحیح بوده و بخشی از سیکلولدکسترن‌ها به علت تفاوت در ماهیت آب‌دوستی با PAN در حین عملیات الکتروریسی از پلیمر زمینه جدا شده و بر روی سطح نانوالیاف آمده‌اند.

۲-۲-۲- تهیه نانوالیاف  
 محلول‌های پلیمری با غلظت ۱۳ درصد وزنی PAN در حلal DMF حاوی  $۰\text{--}۱۰$  و  $۵۰$  درصد وزنی بتاسیکلولدکسترن نسبت به وزن پلی‌اکریلونیتریل با هم‌زدن در سرعت ثابت و در دمای محیط به مدت دو ساعت، تهیه شد. محلول‌های تهیه شده به ترتیب PAN13، PAN/ $\beta$ CD10 و PAN/ $\beta$ CD50 نام‌گذاری شده‌است.  
 برای تعیین گرانزوی محلول‌های پلیمری از ویسکومتر چرخشی استفاده شد. از هر محلول حدود  $۸\text{--}۹$  میلی‌لیتر داخل محفظه دستگاه ریخته و گرانزوی محلول (بر حسب واحد سانتی‌پوآز) در سرعت‌های مختلف (بر حسب دور بر دقیقه) در دمای  $۲۰ \pm ۱^\circ\text{C}$  تعیین شد.  
 کشش سطحی محلول‌های پلیمری به وسیله دستگاه تنسیومتر در دمای  $۲۰^\circ\text{C}$  به روش صفحه، اندازه‌گیری شد.  
 فرآیند الکتروریسی محلول‌های فاقد سیکلولدکسترن(PAN13) و PAN/ $\beta$ CD10 در شرایط نرخ تغذیه  $۰.۳\text{ ml/h}$  و ولتاژ  $۱۵\text{ kV}$  و فاصله  $۰.۳\text{ cm}$  انجام شد. برای محلول PAN/ $\beta$ CD50، ریسنندگی با نرخ تغذیه  $۰.۳\text{ ml/h}$ ، ولتاژ  $۹\text{ kV}$  و فاصله  $۱۵\text{ cm}$  انجام گرفت. جهت جمع‌آوری یکنواخت و مناسب نانوالیاف از جمع‌کننده سیلندری با قطر  $۹$  سانتی‌متر و سرعت چرخش  $۷۵\text{ rpm}$  استفاده شد.

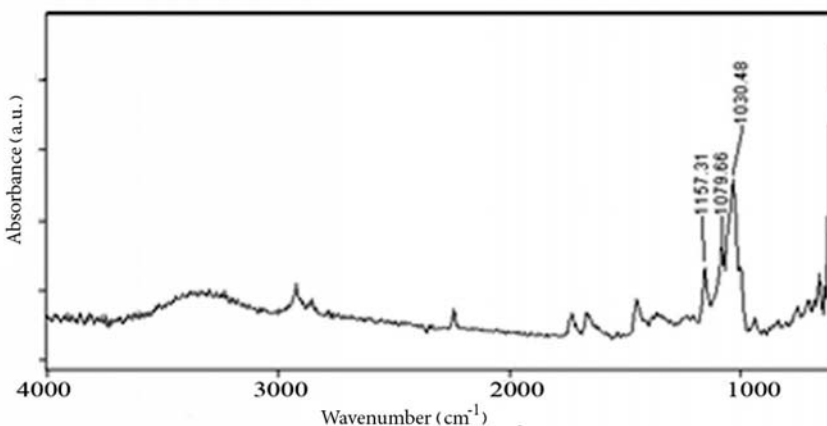
۲-۲-۳- تصفیه  
 کارایی تصفیه نانوالیاف PAN13 و PAN/ $\beta$ CD از طریق اندازه‌گیری میزان جذب رنگزا توسط نانوالیاف طی آزمون غوطه‌وری نمونه در پساب رنگرزی، در دمای محیط ارزیابی شد. نمونه با وزن تقریبی  $۰.۱\text{ g}$  درون  $۱۰\text{ ml}$  محلول پساب به مدت  $۹۰$  دقیقه غوطه‌ور گردید و سپس میزان جذب توسط دستگاه طیف‌سنج اندازه‌گیری شد.

۲-۲-۴- تعیین بازده رنگبری  
 به منظور تعیین بازده جذب رنگزا از پساب رنگرزی، غلظت رنگزا در پساب قبل و پس از تصفیه محاسبه شد و درصد بازده رنگبری طبق رابطه ۱ محاسبه شد.

$$(1) \quad \frac{C_0 - C}{C_0} \times 100 = \text{درصد بازده رنگبری}$$



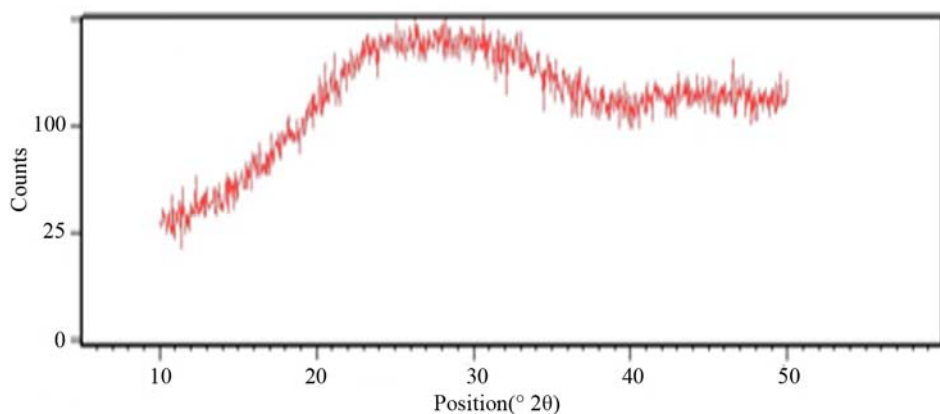
شکل ۳: تصویر SEM و نمودار توزیع قطر نانوالیاف a : PAN/βCD50 ; b : PAN/βCD10 ; c : PAN13



شکل ۴: طیف ATR از سطح لایه .PAN/βCD50

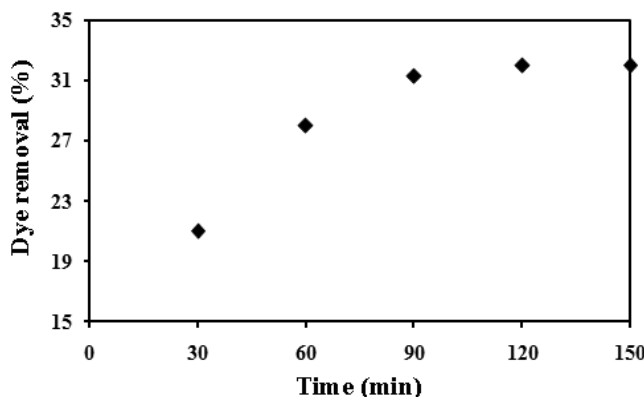
سیکلودکسترین‌ها تمایل دارند از فاز زمینه جدا شده و تشکیل ساختار بلوری قفس دهند، عدم وجود پیک‌های ساختار بلوری قفس اثبات می‌کند که سیکلودکسترین‌ها به صورت یکواخت درون زمینه پلیمر پراکنده شده‌اند و حفره‌های هر مولکول سیکلودکسترین توسط مولکول همسایه بلوکه نشده است و برای تشکیل کمپلکس با مولکول‌های مهمان آزاد می‌باشد.

الگوی تفرق پرتو ایکس نمونه PAN/βCD50 در شکل ۵ نشان داده شده است. بتاسیکلودکسترین در زوایای  $21^\circ$ ,  $19.5^\circ$ ,  $12.5^\circ$ ,  $10.5^\circ$  دارای ساختار بلوری قفس و در زوایای  $18^\circ$ ,  $11.5^\circ$ ,  $10^\circ$  دارای ساختار بلوری کاتال می‌باشد [۱۵، ۱۶]. با توجه به شکل ۵ مشاهده می‌شود هیچ پیک خاصی در این زوایا وجود ندارد و لذا می‌توان نتیجه گرفت میان حفره سیکلودکسترین و زنجیر پلیمری کمپلکس تشکیل نشده است. هم چنین به علت آنکه در حین الکتروریسی



شکل ۵: الگوی تفرق پرتو ایکس .PAN/βCD

رنگزای راکتیو از محلول پساب توسط نانوالیاف خالص بسیار ناچیز است، متعاقباً حضور و افزایش میزان سیکلودکستربین در نانوالیاف منجر به افزایش میزان رنگبری نانوالیاف شده است.



شکل ۶: اثر مدت زمان غوطه‌وری نانوالیاف PAN/βCD50 بر بازده رنگبری رنگزای C.I. Reactive Blue 13

**۲-۳-مشخصات پساب رنگزای**  
به منظور تعیین مدت زمان بهینه غوطه‌وری نانوالیاف در پساب، نتایج حاصل از غوطه‌وری نانوالیاف PAN/βCD50 به مدت ۲.۵ ساعت برای محلول ۰.۰ g/l C.I. Reactive Blue 13 مورد بررسی قرار گرفت و میزان جذب در هر ۳۰ دقیقه اندازه‌گیری شد. نتایج حاصله در شکل ۶ مشاهده می‌شود. نتایج نشان می‌دهد با افزایش مدت زمان غوطه‌وری نانوالیاف در محلول تا ۹۰ دقیقه، بازده رنگبری افزایش یافته است. اما پس از آن با افزایش بیشتر زمان تا ۲ ساعت، بازده رنگبری ثابت می‌ماند. بنابراین می‌توان نتیجه گرفت که حفظه‌های سیکلودکستربین تا ۹۰ دقیقه ظرفیت جذب ملکول‌های رنگزای را داشته و از ۹۰ دقیقه به بعد اشباع شده‌اند و عملانمی توانند مولکول رنگزای بیشتری را در خود جای دهند.

با توجه به نتیجه حاصله در ادامه تحقیق، رنگبری توسط غوطه‌وری نانوالیاف در پساب‌های رنگزای به مدت ۹۰ دقیقه انجام و بازده رنگبری محاسبه شد. نتایج بدست آمده در جدول ۴ ارائه شده است.

با توجه به نتایج بدست آمده، ملاحظه می‌شود، میزان رنگبری

جدول ۴: بازده رنگبری توسط نانوالیاف.

| بازده رنگبری (%)    |                       |                       | نمونه     | رنگزای |
|---------------------|-----------------------|-----------------------|-----------|--------|
| C.I. Reactive Red 2 | C.I. Reactive Blue 21 | C.I. Reactive Blue 13 |           |        |
| ۳.۴                 | ۲۲.۵                  | ۴.۷                   | PAN       |        |
| ۱۰                  | ۲۸.۱                  | ۸.۳                   | PAN/βCD10 |        |
| ۲۵                  | ۴۹                    | ۳۱                    | PAN/βCD50 |        |

نتایج نشان دهنده این امر است که با افزایش وزن نانوالیاف از ۰.۰۱ به ۰.۰۸ گرم، افزایش معناداری در بازده رنگبری (از ۴۹٪ به ۸۶٪) حاصل شده است، لیکن افزایش وزن بیش از این مقدار، تاثیر به سزایی در بازده رنگبری را نشان نداده است.

#### ۴- نتیجه‌گیری

در این تحقیق از نانوالیاف PAN و عامل‌دار شده با بتاسیکلودکسترنین جهت رنگبری پساب رنگرزی به روش غوطه‌وری برای سه نوع متفاوت از رنگزاهای راکتیو (از نظر گروه عاملی) استفاده شد. نتایج بدست آمده نشان داد نانوالیاف PAN از قابلیت بالایی جهت حذف رنگرا از پساب رنگرزی برخوردار نیست، لیکن نانوالیاف عامل‌دار شده در مدت زمان ۹۰ دقیقه قادر به رنگبری با بازده بسیار بالایی است. در سه گروه مختلف رنگزاهای راکتیو از نظر عاملی (گرم، سرد، وینیل سولفون)، بیشترین بازده برای رنگزای راکتیو گروه وینیل سولفون حاصل شده است و پس از آن رنگزای راکتیو گرم با یک اتم کلر قرار می‌گیرد و رنگزای راکتیو سرد (با دو اتم کلر) بازده کمتری را دارد. علت این امر را می‌توان به افزایش میزان آبکافت این رنگزاهای به ترتیب ذکر شده در محیط‌های مائی- قلیایی رنگرزی با رنگزاهای راکتیو نسبت داد. نتایج به دست آمده حاکی از افزایش قابل ملاحظه در جذب رنگرا و بازده رنگبری با افزایش جزئی وزن نانوالیاف عامل‌دار شده، بود. افزایش وزن نانوالیاف PAN/βCD50 از ۰.۰۸ به ۰.۰۰۸ گرم، منجر به افزایش ۷۶ درصدی بازده رنگبری گردید. بر اساس C.I. Reactive 21 تحقیق انجام شده بالاترین بازده رنگبری برای رنگزای PAN/βCD50 به ۹۰ دقیقه و به میزان ۴٪ حاصل شد. به طور کلی می‌توان نتیجه گرفت که نانوالیاف PAN عامل‌دار شده با بتاسیکلودکسترنین از طریق جاگیری رنگرا در حفره سیکلودکسترنین و تشکیل کمپلکس درهم جای، قادر به رنگبری از پساب رنگزای راکتیو با بازده بالایی می‌باشدند. مقایسه نتایج این تحقیق با تحقیق انجام شده توسط فروزمهر [۱۴] نشان می‌دهد کاربرد نانوالیاف PAN/βCD جهت رنگبری از پساب رنگزای راکتیو با استفاده از روش جداسازی استاتیکی در مقایسه با روش جداسازی دینامیکی، قادر به کسب بازده بالاتر می‌باشد.

اگرچه میزان افزایش بازده رنگبری نانوالیاف، با افزایش سیکلودکسترنین برای دو رنگزای ۱۳ C.I. Reactive Blue 13 و ۲۱ C.I. Reactive Red 2 بسیار بیشتر از رنگزای Reactive Blue 21 است، ولی نتایج نشان می‌دهد که بازده رنگبری نانوالیاف فاقد سیکلودکسترنین و حاوی مقادیر مختلف سیکلودکسترنین، برای رنگزای راکتیو ۲۱ C.I. Reactive Blue 21 به مقدار قابل توجهی بیش از دو رنگزای دیگر است. رنگزاهای ۱۳ C.I. Reactive Blue 13 و ۲۱ C.I. Reactive Blue 21 دو رنگزای راکتیو گرم با سامانه‌های متفاوتی از نظر واکنش هستند. اولی با سامانه منوکلروتری آزینیل و دومی راکتیو وینیل سولفونیل است. از آنجا که آبکافت رنگزاهای راکتیو منوکلروتری آزینیل نسبت به رنگزاهای وینیل سولفونیل بیشتر است، بنابراین علت بازده بیشتر رنگبری رنگزای ۲۱ C.I. Reactive Blue 21 را می‌توان به این امر نسبت داد.

با توجه به توضیحات ارائه شده، در مورد رنگزای راکتیو سرد (C.I. Reactive Red 2) به نظر می‌رسد به علت فعالیت بالاتر این رنگزاهای و احتمال آبکافت بیشتر آنها در محیط آبی و قلیایی، همچنین جذب فیزیکی رنگزا توسط سیکلودکسترنین که از نوع کمپلکس درهم جای می‌باشد و با توجه به ساختار شیمیایی رنگزا، تمایل به جذب کمتر و در نتیجه بازده رنگبری کمتری مشاهده شده است. براساس نتایج به دست آمده و با توجه به اینکه غوطه‌وری نانوالیاف PAN/βCD50 در مدت ۹۰ دقیقه، دارای بیشترین بازده رنگبری برای رنگزای ۲۱ C.I. Reactive Blue 21 بود، در ادامه تحقیق تاثیر نسبت وزن نانوالیاف به مایع در بازده رنگبری نیز مورد بررسی قرار گرفت. جدول ۵ نتایج حاصل از اندازه‌گیری بازده رنگبری نانوالیاف با وزن‌های مختلف در حجم پساب ثابت را نشان می‌دهد.

جدول ۵: تاثیر مقدار نانوالیاف PAN/βCD50 در بازده رنگبری رنگزای C.I. Reactive Blue 21

| وزن نانوالیاف (g) | بازده رنگبری (%) |
|-------------------|------------------|
| ۴۹                | ۰.۰۱             |
| ۵۱.۲۷             | ۰.۰۲             |
| ۶۹.۷              | ۰.۰۴             |
| ۸۱.۳              | ۰.۰۶             |
| ۸۶                | ۰.۰۸             |
| ۸۶.۴              | ۰.۱              |

#### ۵- مراجع

1. A. Al-Kdasi, A. Idris, K. Saed, C. Teong Guan, Treatment of textile wastewater by advanced oxidation processes - A review. *Glob. Nest J.* 6(2004), 222-230.
2. A. Akbari, Principle of polymeric nanomembranes and nanofiltration process, Pendar Pars, 1386.
3. W. J. Lau, A. F. Ismail, Polymeric nanofiltration membranes for textile dye wastewater treatment: Preparation, performance evaluation, transport modelling, and fouling control-a review. *Desalin.* 245(2009), 321-348.
4. A. Geethakarthy, B. R. Phanikumar, Industrial sludge based

- adsorbents/ industrial by products in the removal of reactive dyes- A review. *Int. J. Water Res. and Environ. Eng.* 3(2010), 1-9.
5. T. Robinson, G. McMullan, R. Marchant, P. Nigam, Remediation of dyes in textile effluent: a critical review on current treatment technologies with a proposed alternative. *Bioresource Technol.* 77(2001), 247-255.
  6. R. S. Barhate, S. Ramakrishna, Nanofibrous filtering media: Filtration problems and solutions from tiny materials. *J. Membrane Sci.* 296(2007), 1-8.
  7. G. Crini, M. Morcellet, Synthesis and applications of adsorbents containing cyclodextrins. *J. Sep. Sci.* 25(2002), 789-813.
  8. E. M. M. Del Valle, Cyclodextrins and their uses: A review. *Process Biochem.* 39(2004), 1033-1046.
  9. T. Uyar, R. Havelund, Y. Nur, J. Hacaloglu, F. Besenbacher, P. Kingshott, Molecular filters based on cyclodextrin functionalized electrospun fibers. *J. Membrane Sci.* 332(2009), 129-137.
  10. [www.Scienceinthebox.com/en\\_UK/glossary/cyclodextrin\\_en.html](http://www.Scienceinthebox.com/en_UK/glossary/cyclodextrin_en.html).
  11. T. Uyar, F. Besenbacher, Electrospinning of cyclodextrin functionalized polyethylene oxide (PEO) nanofibers. *Eur. Polym. J.* 45(2009), 1032-1037.
  12. T. Shibusawa, J. Okamoto, K. Abe, K. Sakata, Y. Ito, Inclusion of azo disperse dyes by cyclodextrins at dyeing temperature. *Dyes Pigm.* 36(1998), 79-91.
  13. S. Kaur, M. Kotaki, Z. Ma, R. Gopal, S. Ramakrishna, Oligosaccharide functionalized nanofibrous membrane. *Int. J. Nanosci.* 5(2006), 1-11.
  14. F. Foroozmehr, Feasibility study of application of cyclodextrin functionalized nanofiber to cellulosic dyeing wastewater purification, M.Sc Thesis, Department of Textile Engineering, Isfahan University of Technology, Isfahan Iran, 2011.
  15. U. Tamer, N. Yusuf, H. Jale, B. Feleme, Electrospinning of functional poly(methyl methacrylate) nanofibers containing cyclodextrin-methanol inclusion complexes. *Nanotechnology*. 20(2009), 1-10.
  16. T. Uyar, A. Balan, L. Toppore, F. Besenbacher, Electrospinning of cyclodextrin functionalized poly(methyl methacrylate) (PMMA). Nanofibers. *Polymer*. 50(2009), 475-480..